

人参皂苷 Rb₁ 对小鼠 T 淋巴细胞体外活化、增殖及凋亡的影响

吕梦捷, 曾耀英*, 宋 兵

暨南大学 组织移植与免疫中心, 广东 广州 510632

摘要: 目的 研究人参皂苷 Rb₁ 对小鼠 T 淋巴细胞体外活化及增殖的影响, 并对其免疫调节作用进行初步探讨。方法 分离制备小鼠淋巴结细胞悬液; 以双色荧光抗体染色技术结合流式细胞术检测在刀豆蛋白 A (ConA) 的刺激下, 人参皂苷 Rb₁ 对早期活化标志 CD3/CD69 和调节 T 淋巴细胞标志 CD4/CD25 表达的影响; 用羧基荧光素乙酰乙酸 (CFDA-SE) 染色结合流式细胞术和 MTT 法检测在 ConA 的刺激下, 人参皂苷 Rb₁ 对 T 淋巴细胞增殖的影响; DIOC/PI 双染技术检测在 H₂O₂ 作用下, 人参皂苷 Rb₁ 对淋巴细胞凋亡进程的影响。结果 终浓度为 5、10、20 μmol/L 的人参皂苷 Rb₁ 对 ConA 刺激的调节 T 淋巴细胞 CD4⁺/CD25⁺ 的表达具有促进作用, 而 CD3⁺/CD69⁺ 的表达明显下调 ($P < 0.01$); 对 ConA 刺激的 T 淋巴细胞增殖具有明显的抑制作用 ($P < 0.05$), 且呈剂量依赖性; 人参皂苷 Rb₁ 显著抑制 H₂O₂ 诱导的淋巴细胞的凋亡进程 ($P < 0.05$)。结论 人参皂苷 Rb₁ 对小鼠淋巴细胞的体外活化及增殖均具有明显的抑制作用, 是一种潜在的免疫抑制剂。

关键词: 人参皂苷 Rb₁; T 淋巴细胞; 活化; 增殖; 凋亡

中图分类号: R392.1 文献标志码: A 文章编号: 0253-2670(2011)04-0743-06

Effects of ginsenoside Rb₁ on activation, proliferation, and apoptosis of murine T lymphocytes *in vitro*

LV Meng-jie, ZENG Yao-ying, SONG Bing

Institute of Tissue Transplantation and Immunology, Jinan University, Guangzhou 510632, China

Abstract: Objective To investigate the effects of ginsenoside Rb₁ on activation and proliferation of murine T lymphocytes *in vitro* and to elucidate the mechanism of the immunosuppressive effect of ginsenoside Rb₁. **Methods** Cell suspensions were prepared from murine lymph nodes. T lymphocytes were treated with different concentrations of ginsenoside Rb₁ and stimulated with polyclonal activator concanavalin (ConA). Fluorescence conjugated monoclonal antibodies and flow cytometry were used to detect the expression of CD3/CD69 and CD4/CD25. After the staining with CFDA-SE, T lymphocytes were stimulated with polyclonal activator ConA. The proliferation of T lymphocytes, after stimulated by ConA, was detected using the method of MTT. The distribution of the cell apoptosis was analyzed by staining both DIOC and PI. **Results** In a dose-dependent manner, ginsenoside Rb₁ (5, 10, and 20 μmol/L) could significantly inhibit T lymphocytes activation index ($P < 0.01$) stimulated by ConA and proliferation index ($P < 0.05$) stimulated by ConA. Ginsenoside Rb₁ could also reduce the apoptosis of T lymphocytes stimulated by H₂O₂. **Conclusion** Ginsenoside Rb₁ can effectively inhibit the activation and proliferation of murine T lymphocytes, and ginsenoside Rb₁ is a potential effective immuno-inhibitory agent.

Key words: ginsenoside Rb₁; T lymphocyte; activation; proliferation; apoptosis

人参皂苷 Rb₁ (ginsenoside Rb₁) 是一种糖的衍生物, 相对分子质量 1109.26, 是人参提取物中的主要有效成分。人参皂苷具有多重功效, 能治疗心血管系统疾病、调节内分泌、增强体力、调节中枢神经系统等^[1-6]。近年来有实验研究表明人参皂苷 Rb₁ 能

增强细胞免疫力^[7]。但是有关人参皂苷 Rb₁ 对淋巴细胞和免疫功能影响的报道很少, 其免疫调节作用和机制还不是很清楚。本实验将人参皂苷 Rb₁ 体外作用于刀豆蛋白 A (ConA) 诱导的 T 淋巴细胞, 探讨其对 T 淋巴细胞活化、增殖、凋亡的影响, 以进

收稿日期: 2010-07-13

基金项目: “973”国家重大基础研究项目 (2006CB504200, 2004CB720100); 广东省基金项目 (2006B36030016); 广州市科技局科技攻关重点项目 (2006Z-E0091); 生物化学与分子生物学广东省重点学科资助

作者简介: 吕梦捷 (1985—), 女, 山东济宁人, 硕士研究生, 主要从事免疫分子识别与疾病研究。

Tel: (020)85220732 E-mail: lvmengjie.0628@163.com

*通讯作者 曾耀英 Tel: (020)85226219 E-mail: tzengyy@jnu.edu.cn

一步了解其免疫抑制作用，初步探讨其免疫调节作用和机制，为临床应用提供实验依据。

1 材料和方法

1.1 实验动物

清洁级 Balb/c 近交系小鼠，雄性，6~8 周龄，体质量（20±2）g，购自广东省实验动物中心。

1.2 试剂与仪器

人参皂苷 Rb₁（质量分数≥98%）、MTT、L-谷氨酰胺、β-巯基乙醇、ConA、DIOC₆（3）、碘化丙啶（PI），美国 Sigma 公司；鼠抗 CD3-FITC、鼠抗 CD69-PE，美国 BD-PharMingen 公司；RPMI 1640、胎牛血清（FBS），美国 GibcoBRL 公司；羧基荧光素乙酰乙酸（CFDA-SE），美国 Molecular Probes 公司。流式细胞仪（FACSCalibur），美国 Becton Dickinson 公司。

1.3 方法

1.3.1 小鼠淋巴细胞悬液的制备 将 Balb/c 小鼠脱颈处死，无菌分离双侧颌下、腋窝、锁骨下、腹股沟浅淋巴结和肠系膜淋巴结，去掉被膜，200 目筛网研磨滤过，收集细胞，用冷 PBS 洗涤细胞 2 次（250×g，5 min）后，重悬于 PBS 中。

1.3.2 MTT 法检测药物毒性 分别设 2 个对照组：空白对照组（单纯 RPMI 1640 完全培养基）、对照组（细胞悬液未加药物刺激），设 4 个人参皂苷 Rb₁（终浓度为 2.5、5、10、20 μmol/L）组，且每组分别设置 3 个复孔。将“1.3.1”项中的细胞悬液离心，用 RPMI 1640 完全培养基重悬，并调整细胞密度为 3×10⁹/L；接种于 96 孔板，每孔 90 μL 细胞悬液，加入 10 μL 不同浓度的人参皂苷 Rb₁，每孔终体积为 100 μL，37 °C、5% CO₂ 培养箱中培养 48 h 后，每孔加入 5 mg/mL MTT 10 μL，混匀，继续培养 4 h；取出培养板，每孔加入 100 μL 三联裂解液，混匀后室温放置 16 h；酶标仪检测（单波长 490 nm，中速，10 s）A 值，并计算细胞相对存活率。结果所设定浓度人参皂苷 Rb₁ 作用于细胞 48 h 后，其存活率均能控制在 70% 以上，计算其半数抑制浓度（IC₅₀）为 102.26 μmol/L，故可以确定当人参皂苷 Rb₁ 浓度控制在 2.5~20 μmol/L 时对其抑制免疫作用实验结果没有影响。

$$\text{细胞相对存活率} = (A_{\text{实验组}} - A_{\text{空白组}}) / (A_{\text{对照组}} - A_{\text{空白组}})$$

1.3.3 ConA 刺激 T 细胞早期活化 CD69 的检测 设 5 个实验组：对照组、ConA 组、人参皂苷 Rb₁（5、10、20 μmol/L）组，37 °C、5% CO₂ 培养箱中培养；4 h 后，除对照组外，每孔加入终质量浓度为 5 mg/L

的 ConA 培养；5 h 后取出各孔细胞悬液离心；采用直接免疫荧光标记法染色，加入适量的鼠抗 CD3-FITC、鼠抗 CD69-PE（最终使每 1×10⁶ 个细胞各抗体用量为 1 μg），混匀后，4 °C 避光染色 30 min，PBS 洗涤细胞 2 次（250×g，5 min），立即上机检测。FITC 为荧光 1 通道（FL1），PE 为荧光 2 通道（FL2）。以检测 CD69 为例：先在前散射（FSC）对侧散射（SSC）二维散点图中划出淋巴细胞区 R1，在 FL2（CD3-PE）对 SSC 散点图中划出 CD3⁺T 淋巴细胞区 R2，然后在 FL2 对 FL1 散点图中划出 CD3⁺、CD69⁺ T 淋巴细胞。

1.3.4 ConA 刺激的调节 T 细胞 CD4/CD25 的检测 按照“1.3.2”项中的方法分组、培养细胞；4 h 后，每孔加入终质量浓度为 5 mg/L 的 ConA 培养；20 h 后取出各孔细胞悬液离心；采用直接免疫荧光标记法染色，加入适量鼠抗 CD4-PerCP、鼠抗 CD25-FITC（最终使每 1×10⁶ 个细胞各抗体用量为 1 μg），混匀后，4 °C 避光染色 30 min，PBS 洗涤细胞 2 次（250×g，5 min），立即上机检测，FITC 为荧光 1 通道，PerCP 为荧光 3 通道。

1.3.5 CFDA-SE 染色检测 T 细胞增殖 小鼠淋巴细胞按文献方法进行 CFDA-SE 染色^[8]，CFDA-SE 用二甲基亚砜（DMSO）溶解成 2 mmol/L 的储存液，-20 °C 保存。用 PBS 将细胞密度调整为 1×10¹⁰/L，然后加入 CFDA-SE（终浓度为 1 μmol/L），室温下轻轻振荡 10 min；用 RPMI 1640 完全培养基洗涤细胞 2 次（250×g，5 min），重悬，并调整细胞密度为 3×10⁹/L；接种于 96 孔板，每孔 190 μL，加入 10 μL 不同浓度（终浓度为 5、10、20 μmol/L）的人参皂苷 Rb₁，每孔终体积为 200 μL，37 °C、5% CO₂ 培养箱中孵育 4 h；再加入终质量浓度为 5 mg/L 的 ConA 培养；72 h 后收获细胞，立即上流式细胞仪检测。

1.3.6 MTT 法检测 T 细胞增殖 分别设 2 个对照组：空白对照组（单纯 RPMI 1640 完全培养基）、对照组（细胞悬液未加药物刺激）；设 4 个人参皂苷 Rb₁（终浓度为 2.5、5、10、20 μmol/L）组；且每组分别设置 3 个复孔。按“1.3.2”项方法接种、加药处理细胞，人参皂苷 Rb₁ 作用 4 h 后，每孔加入终质量浓度为 5 mg/L 的 ConA 培养；48 h 后，按“1.3.2”项方法测定 A 值，计算细胞相对存活率。

1.3.7 DIOC/PI 染色法检测 T 淋巴细胞凋亡 分别设 2 个对照组：空白对照组（单纯细胞悬液）、对照组（细胞悬液+H₂O₂ 刺激剂）；设 6 个给药组：人

参皂苷 Rb₁ (终浓度为 5、10、20 μmol/L) 组, 人参皂苷 Rb₁ (终浓度为 5、10、20 μmol/L) 加刺激剂 (H₂O₂) 组。同“1.3.5”项方法接种细胞; 加药培养 4 h 后, 每孔加入终浓度为 500 μmol/L 的 H₂O₂ 培养; 各组细胞培养 24 h 后, 取出各孔细胞悬液离心; 采用 DIOC6 (3) /PI 荧光标记法双染色, 加入 200 μL 的 DIOC 染料稀释液 (50 nmol/L), 混匀后, 37 °C 避光染色 30 min, PBS 洗涤细胞 2 次 (250×g, 5 min), 加入 PI (1 μmol/L) 染色, 立即上机检测。

1.3.8 流式细胞术分析 所有样品经 FACS Calibur 流式细胞仪和 CELLQuest 软件获取。每管细胞悬液样品检测 10 000 个细胞, 获得的数据用 CELLQuest 及 ModFit LT 3.2 软件进行分析。

1.3.9 统计学处理 全部数据使用 Excel 进行处理, 数据以 $\bar{x} \pm s$ 表示, 两组间比较采用配对 *t* 检验。

2 结果

2.1 对 ConA 诱导小鼠 T 淋巴细胞 CD69 表达的影响

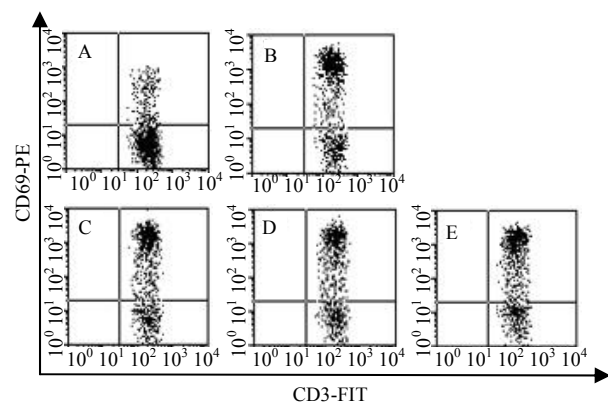
小鼠 T 淋巴细胞培养 5 h 后, 用双抗体染色法结合流式细胞术检测 T 淋巴细胞早期活化抗原 CD69 的表达 (图 1), ConA 刺激组 T 细胞的活化率为 (68.06±3.28) %, 而对照组 (未经 ConA 刺激) T 细胞的活化率为 (8.77±2.25) %, 两者差异非常显著 ($P<0.01$, 表 1)。5、10、20 μmol/L 人参皂苷 Rb₁ 均可明显抑制 ConA 介导的 CD3⁺/CD69⁺ 分子的表达, 与 ConA 组相比差异显著 ($P<0.01$, 表 1), 且呈剂量依赖性。

2.2 对 ConA 诱导的小鼠 T 淋巴细胞 CD4/CD25 表达的影响

小鼠 T 淋巴细胞培养 20 h 后, 用双抗体染色法结合流式细胞术检测调节 T 淋巴细胞抗原 CD25 的表达 (图 2), ConA 组 T 淋巴细胞的活化率为 (60.50±11.25) %, 而对照组 T 淋巴细胞的活化率为 (7.96±1.37) %, 两者差异非常显著 ($P<0.01$, 表 1)。5、10、20 μmol/L 人参皂苷 Rb₁ 均可明显上调 ConA 介导的 CD4⁺/CD25⁺ 分子的表达, 与 ConA 组相比差异显著 ($P<0.01$, 表 1), 且呈剂量依赖性。

2.3 对 ConA 诱导的小鼠 T 淋巴细胞增殖的影响

2.3.1 CFDA-SE 染色检测 T 淋巴细胞增殖 CFDA-SE 染色后, 在荧光 1 通道 (FL1) 中可检测出均一染色的细胞群。根据细胞分裂 1 次其荧光强度减半的原理, 动态追踪了 T 细胞增殖的情况^[9]。细胞培养 72 h 后, 对照组仅见一个亲代峰, 无增殖峰, 未出现 CFSE 荧光强度减弱, 而 ConA 组的细胞则出现 4 个子代峰 (图 3)。用 ModFit LT 3.2 软件拟



A-对照 B-ConA C~E-ConA+5、10、20 μmol·L⁻¹ 人参皂苷 Rb₁
A-Control B-ConA C-E-ConA+5, 10, and 20 μmol·L⁻¹ ginsenoside Rb₁

图 1 人参皂苷 Rb₁ 对 ConA 刺激的 T 细胞 CD3/CD69 表达的影响

Fig. 1 Effect of ginsenoside Rb₁ on CD3/CD69 expression of murine T lymphocytes activated by ConA

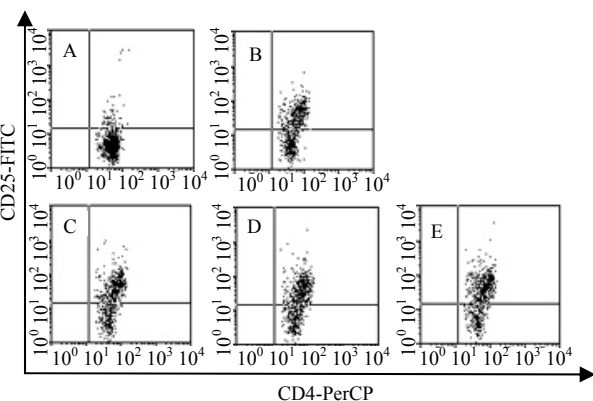
表 1 人参皂苷 Rb₁ 对 ConA 刺激的小鼠 T 细胞 CD3⁺/CD69⁺ 和 CD4⁺/CD25⁺ 表达的影响 ($\bar{x} \pm s$, $n=3$)

Table 1 Effect of ginsenoside Rb₁ on expression of CD3⁺/CD69⁺ and CD4⁺/CD25⁺ of murine T lymphocytes activated by ConA ($\bar{x} \pm s$, $n=3$)

组别	C/ (μmol·L ⁻¹)	(CD3 ⁺ CD69 ⁺ T/CD3 ⁺ T)/%	(CD4 ⁺ CD25 ⁺ T/CD4 ⁺ T)/%
对照	-	8.77±2.25	7.96±1.37
ConA	-	68.06±3.28	60.50±11.26
人参皂苷 Rb ₁	5	67.20±3.71*	63.96±10.81**
	10	64.57±3.55**	65.59±10.58**
	20	64.01±3.50**	66.49±10.84**

与 ConA 组比较: * $P<0.05$ ** $P<0.01$

* $P<0.05$ ** $P<0.01$ vs ConA group



A-对照 B-ConA C~E-ConA+5、10、20 μmol·L⁻¹ 人参皂苷 Rb₁
A-Control B-ConA C-E-ConA+5, 10, and 20 μmol·L⁻¹ ginsenoside Rb₁

图 2 人参皂苷 Rb₁ 对 ConA 刺激的 T 细胞 CD4/CD25 表达的影响

Fig. 2 Effect of ginsenoside Rb₁ on CD4/CD25 expression of murine T lymphocytes activated by ConA

合后，得到增殖的T细胞各代的百分率及增殖指数(PI)，见表2。加入5、10、20 μmol/L人参皂苷Rb₁后，细胞分裂的代数及PI值均递减，与相应时间点ConA组T淋巴细胞的PI比较有统计学意义($P<0.05$)。

2.3.2 MTT法检测T淋巴细胞增殖 ConA刺激的淋巴细胞培养48 h后，ConA组细胞相对存活率为100%，在人参皂苷Rb₁作用下细胞存活率相应下降，2.5、5、10、20 μmol/L人参皂苷Rb₁组细胞相对存活率分别为(91.88±3.91)%、(84.14±7.72)%、(78.58±10.59)%、(71.32±9.93)%，说明药物对细胞增殖有一定的抑制作用($P<0.05$ 、0.01)，且呈剂量依赖性。

2.4 对T淋巴细胞凋亡进程的影响

与空白对照组相比，单纯加药组细胞的凋亡率随着药物浓度的增加而递增。与对照组相比，由H₂O₂刺激剂诱导的细胞死亡随着药物浓度的增大而递减。人参皂苷Rb₁能够明显抑制H₂O₂诱导的细

胞凋亡进程，且呈剂量依赖性。结果见图4(R2为坏死细胞，R3为凋亡细胞)和图5。

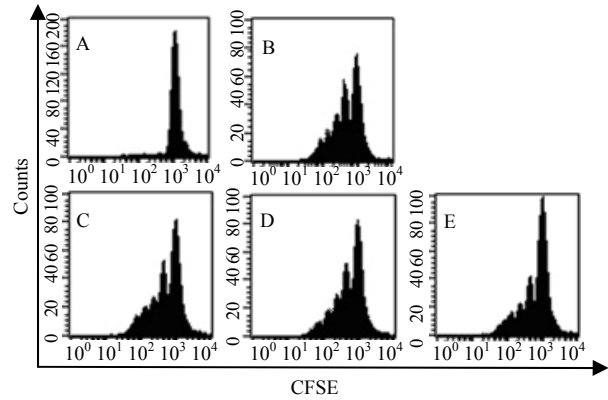


图3 人参皂苷Rb₁对ConA刺激的小鼠T细胞增殖的抑制作用

Fig. 3 Effect of ginsenoside Rb₁ on proliferation of murine T lymphocytes activated by ConA

表2 人参皂苷Rb₁对ConA刺激的小鼠T淋巴细胞增殖的抑制作用 ($\bar{x} \pm s, n=3$)

Table 2 Inhibition of ginsenoside Rb₁ on proliferation of murine T lymphocytes activated by ConA ($\bar{x} \pm s, n=3$)

组别	C/ (μmol·L ⁻¹)	G ₁ /%	G ₂ /%	G ₃ /%	G ₄ /%	G ₅ /%	PI
对照	-	96.16±0.71	0.81±0.06	1.06±0.18	0.96±0.03	0.20±0.29	1.04±0.01
ConA	-	45.45±2.51	22.07±1.27	16.71±0.49	12.25±0.46	4.95±0.68	1.61±0.02
人参皂苷Rb ₁	5	45.63±1.23	24.15±1.02	17.49±0.33*	10.43±0.25**	3.54±0.10*	1.55±0.01**
	10	50.22±1.01*	25.33±1.28*	15.51±0.21**	8.06±0.42**	2.70±0.16**	1.50±0.05**
	20	57.44±2.03**	21.33±2.67	13.30±0.42**	8.56±0.98**	2.44±0.15**	1.43±0.01**

与ConA组比较：* $P<0.05$ ** $P<0.01$

* $P<0.05$ ** $P<0.01$ vs ConA group

3 讨论

T淋巴细胞是免疫系统发挥作用的核心，T淋巴细胞的活化与增殖是免疫反应系统中最基础和最关键的事件，在免疫防御、免疫调节、炎症性疾病和自身免疫疾病当中起到相当重要的作用^[8-10]。本实验通过体外研究人参皂苷Rb₁对小鼠T淋巴细胞早期活化及增殖的影响，初步探讨人参皂苷Rb₁在免疫方面的调节作用及其机制。本实验结果发现人参皂苷Rb₁明显抑制T淋巴细胞表达CD69，并明显抑制由ConA诱导的T淋巴细胞的分裂代数和子代细胞数目，降低细胞增殖指数，同时对H₂O₂诱导的死亡进程有抑制作用。

CD69为T淋巴细胞早期活化的表面标志性抗原，其本身是一种细胞表面的磷酸化的同二聚体蛋白，它的表达依赖于新的RNA合成和翻译。静息T

淋巴细胞极少表达CD69，而活化后的T淋巴细胞通过编码基因的转录活化可大量表达CD69，并产生大量的IL-2和高亲和力的IL-2R。IL-2和IL-2R结合后选择性支持经抗原刺激而活化的T淋巴细胞进行扩增，因此CD69可作为T细胞早期活化标志^[11-13]。一定浓度范围内的人参皂苷Rb₁能够抑制CD69的表达，这与其能够抑制T淋巴细胞增殖的结果一致，为人参皂苷Rb₁抑制T淋巴细胞活化提供了直接证据。CD25除了是非CD4⁺调节性T淋巴细胞中期活化的标志，同时也是CD4⁺调节性T淋巴细胞的标志。CD4⁺、CD25⁺调节T淋巴细胞的主要功能是通过抑制性调节CD4⁺和CD8⁺T细胞的活化与增殖，达到免疫调节作用。其可能的机制有：与靶细胞接触而发挥抑制作用；下调靶细胞IL-2R α链的表达从而抑制靶细胞的增殖；通过抑制APC的抗原递呈

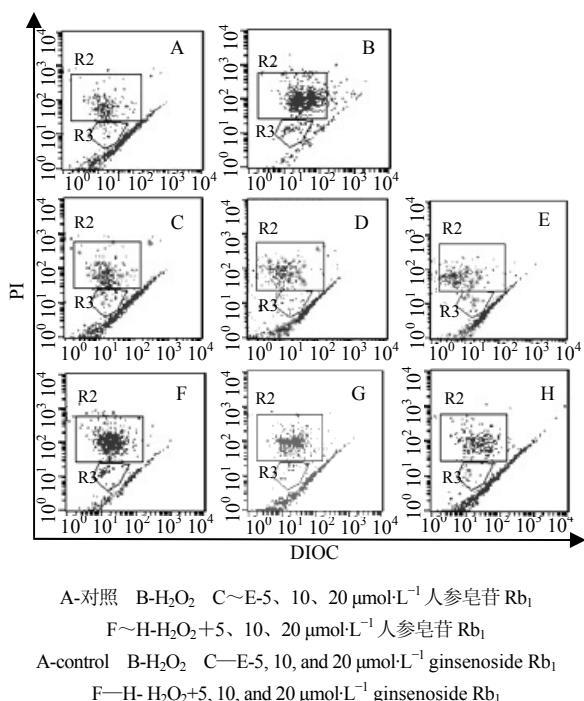
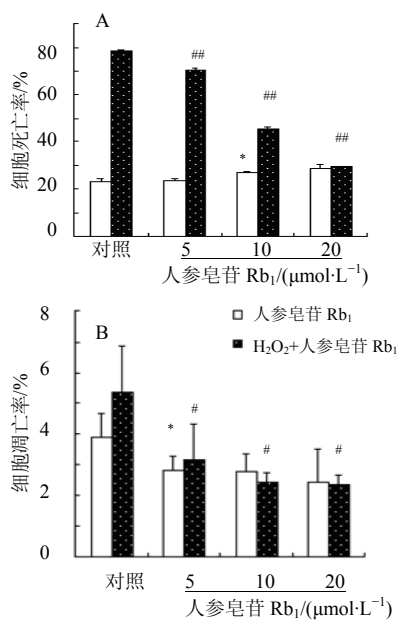


图4 人参皂苷 Rb₁对 H₂O₂诱导的小鼠T细胞凋亡的抑制作用 ($\bar{x} \pm s$, $n = 3$)

Fig. 4 Inhibition of ginsenoside Rb₁ on apoptosis of murine T lymphocytes stimulated by H₂O₂ ($\bar{x} \pm s$, $n = 3$)



与对照组比较: * $P < 0.05$; 与 H₂O₂ 组比较: # $P < 0.05$ ## $P < 0.01$

* $P < 0.05$ vs control group; # $P < 0.05$ ## $P < 0.01$ vs H₂O₂ group

图5 人参皂苷 Rb₁对 H₂O₂诱导的小鼠T细胞死亡(A)和凋亡(B)的抑制作用 ($\bar{x} \pm s$, $n = 3$)

Fig. 5 Inhibition of ginsenoside Rb₁ on death (A) and apoptosis (B) of murine T lymphocytes stimulated by H₂O₂ ($\bar{x} \pm s$, $n = 3$)

功能,使靶细胞得不到足以活化的刺激信号^[14-15]。一定浓度的人参皂苷 Rb₁能够上调 CD4⁺、CD25⁺的表达,从而抑制 T 淋巴细胞的活化和增殖,达到免疫负调节作用。

人参皂苷 Rb₁对 ConA 刺激的增殖均具有明显的抑制作用。ConA 是 T 细胞多克隆刺激剂,其刺激途径是 Ca²⁺依赖性的,通过作用于 T 淋巴细胞表面的 TCR/CD3 复合体而诱发活化及增殖反应。很可能需要通过 ZAP270、Fyu、Lck 等上游蛋白酪氨酸激酶(PTK)进行信息传递,进一步诱导细胞内信号转导信使 Ca²⁺浓度升高而导致细胞增殖^[16]。本实验结果表明人参皂苷 Rb₁可能会抑制 ConA 与细胞表面 TCR/CD3 的交联,但其作用位点也可能位于 PTK 上游或下游,从而抑制 T 淋巴细胞的活化、增殖及一系列的下游事件,具体机制还有待进一步研究。

有研究表明人参皂苷 Rb₁对胞内外 Ca²⁺的转运有着调节作用。人参皂苷 Rb₁可通过 Na⁺, K⁺-ATPase 及 Ca²⁺, Mg²⁺-ATPase 等酶降低胞内钙能,从而导致 Ca²⁺浓度降低,细胞增殖受到抑制,这与人参皂苷 Rb₁抑制 ConA 刺激的淋巴细胞增殖的结果一致。同时胞内 Ca²⁺的增加与自由基的生成密切相关,人参皂苷 Rb₁能降低胞内 Ca²⁺的量,对改善自由基所造成的膜流动性的降低有重要作用^[17]。H₂O₂是一种强氧化剂,可转变成自由基使线粒体膜脂质过氧化,线粒体跨膜电位耗散,细胞色素释放,进而引起 Caspase3 活化和 DNA 的断裂,从而引起细胞凋亡^[18]。人参皂苷 Rb₁能显著抑制由 H₂O₂ 诱导的淋巴细胞凋亡,说明人参皂苷 Rb₁对活性氧自由基有一定的清除作用,有较强的抗氧化作用。

已有研究表明人参皂苷 Rb₁对蛋白激酶 C (PKC)、蛋白激酶 A (PKA)、CaMKII 均有调节作用,其相关的信号通路均与细胞的增殖活化密切相关^[19-20]。人参皂苷 Rb₁对 T 细胞早期活化和增殖具有明显的抑制效应,因此推测其对 T 淋巴细胞活化的影响可能是通过调节蛋白激酶的活性,从而干扰了早期活化事件;也可能是由于对 CD69 等早期活化抗原表达的抑制而干扰了随后的活化事件,从而抑制了 T 淋巴细胞的增殖反应。这都提供了人参皂苷 Rb₁抑制细胞免疫功能的直接证据。但 T 淋巴细胞的活化和增殖是一个复杂的动态过程,涉及多种酶和信号转导途径参与其中,因此人参皂苷 Rb₁的免疫作用机制及其潜在的免疫调节作用值得进一步研究。

参考文献

- [1] Hou W, Chai H, Lin P H. Ginsenoside Rb₁ blocks homocysteine-induced endothelial dysfunction in porcine coronary arteries [J]. *J Vasc Surg*, 2005, 41(5): 861-868.
- [2] Cheng Y, Shen L H, Zhang J T. Anti-amnestic and anti-aging effects of ginsenoside Rg₁ and Rb₁ and its mechanism of action [J]. *Acta Pharmacol Sin*, 2005, 26(2): 143-149.
- [3] 徐晓军, 石淑文, 汤永民, 等. 人参皂苷 Rh₂ 抗白血病多药耐药细胞 K562/VCR 作用研究 [J]. 中草药, 2010, 41(7): 1131-1135.
- [4] 高 艳, 刘汉清, 苗宁舒, 等. 人参皂苷 C-K 对心脏蛋白激酶 C 信号转导通路的影响 [J]. 中草药, 2010, 41(12): 2049-2051.
- [5] Wu J, Jeong H K, Bulin S E, et al. Ginsenosides protect striatal neurons in a cellular model of Huntington's Disease [J]. *J Neurosci Res*, 2009, 87: 1904-1912.
- [6] 周超群, 周 珮. 人参皂苷 Rd 的研究进展 [J]. 中草药, 2009, 40(5): 832-836.
- [7] Luo Y M, Cheng X J, Yuan W X. Effects of ginseng root saponins and ginsenoside Rb₁ on immunity in cold water swim stress mice and rats [J]. *Acta Pharmacol Sin*, 1993, 14(5): 401-404.
- [8] 肇静娴, 曾耀英, 何贤辉. 活体染料 CFDA-SE 在淋巴细胞增殖研究中的应用 [J]. 细胞与分子免疫学杂志, 2003, 19(2): 109-111.
- [9] Fulcher D, Wong S. Carboxyfluorescein succinimidyl ester-based proliferative assays for assessment of T cell function in the diagnostic laboratory [J]. *Immunol Cell Biol*, 1999, 77(6): 559-564.
- [10] Clipstone N, Timmermann L, Northrop J, et al. The mechanism of action of cyclosporin A and FK506 [J]. *Clin Immunol Immunopathol*, 1996, 80(3): 40-45.
- [11] Craston R, Koh M, Dermott A M, et al. Temporal dynamics CD69 expression on lymphoid cells [J]. *J Immunol Methods*, 1997, 209(1): 37-45.
- [12] Altman A, Isakov N, Baier G. Protein kinase Cθ: a new essential superstar on the T cell stage [J]. *Immunol Today*, 2000, 21(11): 567-573.
- [13] Van Leeuwen J E, Samelson L E. T cell antigen receptor signal transduction [J]. *Cur Opin Immunol*, 1999, 11(3): 242-248.
- [14] 陈慰峰. 医学免疫学 [M]. 第4版. 北京: 人民卫生出版社, 2000.
- [15] Shevach E M, McHugh R S, Piccirillo C A, et al. Control of T-cell activation by CD4⁺CD25⁺ suppressor T cells [J]. *Immunol Rev*, 2001, 182: 59-67.
- [16] Sun Z, Arendt C W, Ellmerer W, et al. PKC-θ is required for TCR-induced NF-κB activation in mature but not immature T lymphocytes [J]. *Nature*, 2000, 404(6776): 402-407.
- [17] Jiang X Y, Zhang J T, Shi C Z. Mechanism of action of ginsenoside Rb₁ in decreasing intracellular Ca²⁺ [J]. *Acta Pharm Sin*, 1996, 31(5): 321-326.
- [18] 王 晖, 张 杰, 张淑华, 等. 甜杏仁对H₂O₂诱导大鼠外周淋巴细胞 DNA 损伤的影响 [J]. 首都医科大学学报, 2007, 28(5): 609-612.
- [19] Chang Y, Wang S J. Ginsenoside Rg₁ and Rb₁ enhance glutamate exocytosis from rat cortical nerve terminals by affecting vesicle mobilization through the activation of protein kinase C [J]. *Eur J Pharmacol*, 2008, 590(1-3): 74-79.
- [20] Park J K, Namgung U, Lee C J, et al. Calcium-independent CaMKII activity is involved in ginsenoside Rb₁-mediated neuronal recovery after hypoxic damage [J]. *Life Sci*, 2005, 76(9): 1013-1025.